

مدل سازی اثر مهم ترین عوامل مؤثر بر رفتار سینتیکی واکنش نیتریده کردن سیلیسیم به روش پیوند واکنشی بر اساس روش گروهی بررسی داده *

مقاله پژوهشی

احسان شاه محمدی^(۱) فرهاد گلستانی فرد^(۲) علیرضا میرحبیبی^(۳)

چکیده

در مطالعه حاضر با استفاده از روش محاسباتی به نام بررسی گروهی داده (group method of data handling) مدل مؤثر برای پیش بینی میزان پیشروی واکنش نیتریده کردن سیلیسیم به روش پیوند واکنشی، توسعه داده شده است. ۲۱۸۶ داده از آزمایش های انجام شده در این تحقیق و اطلاعات موجود در کارهای گذشته استخراج شده است. تأثیرات مهم ترین پارامترها مثل زمان، دما، درصد گاز نیتروژن، اندازه قرص و اندازه ذره سیلیسیم اولیه بررسی شده است. واکنش نیتریده کردن سیلیسیم در دمای ۱۵۷۳ درجه کلون انجام شد و نتایج آزمایش با مقادیر حاصل از مدل مقایسه و با استفاده از پارامترهای خطای آماری عملکرد مدل با خطای ۰/۹۶ تأیید شد. همچنین عملکرد دقیق و مؤثر مدل GMDH در برابر مدل های تحلیلی قبلی مقایسه شد. با استفاده از آنالیز حساسیت، فشار نیتروژن با مقدار ۰/۲۷ مؤثرترین پارامتر در میزان نیتریده شدن تعیین شد.

واژه های کلیدی الگوریتم، سرامیک، مدل سازی، سیلیسیم نیتريد، برنامه نویسی، سینتیک، الگو، برازش.

Modeling the Effect of the Most Important Factors on the Kinetics Behavior of Silicon Nitridation Reaction Based on Group Method of Data Handling

E.Shahmohamadi F.GolestaniFard A.Mirhabibi

Abstract

In the present study, a soft computing method namely the group method of data handling (GMDH) is applied to develop a new and efficient predictive model for prediction of kinetics silicon nitridation. 1186 data point is obtained from experimental results and other studies in literatures. Several effective parameters like time, temperature, nitrogen percentage, pellet size and silicon particle size are considered. The silicon nitridation was performed in 1573 k and results were evaluated against model results for validation of the model. The performance of the model is evaluated through statistical analysis. Furthermore, the performance and efficiency of the GMDH model is confirmed against the two most common analytical models. Using sensitivity analysis, nitrogen pressure with V_{ratio} 0.27 was the most effective parameter in nitridation.

Key Words Ceramics, Modeling, Silicon nitriding, Programming, Kinetics, Pattern, Regression.

* تاریخ دریافت مقاله ۹۸/۲/۲۹ و تاریخ پذیرش آن ۹۸/۱۲/۲۱ می باشد.

(۱) نویسنده مسئول، دکتری مهندسی مواد، دانشکده مهندسی مواد، دانشگاه علم و صنعت ایران. Email: e.shahmohamadi66@gmail.com

(۲) استاد گروه سرامیک، دانشکده مهندسی مواد، دانشگاه علم و صنعت ایران.

(۳) دانشیار گروه سرامیک، دانشکده مهندسی مواد، دانشگاه علم و صنعت ایران.

مقدمه

سیلیسیم نیتريد به‌عنوان يك از مهم‌ترین سرمایه‌های مهندسی، کاربرد وسیعی در زمینه مواد دما بالا دارد. مزایای زیاد مثل مقاومت بالا در برابر شوک حرارتی و خوردگی، استحکام بالا، چگالی پایین در مقایسه با ترکیبات فلزی و زیست‌سازگاری باعث شده است که از این ماده در ابزار برش، توربین‌های گازی، موتور دیزل، یاتاقان‌ها و کامپوزیت‌های زیست‌سازگار پذیر استفاده شود [5-1].

چندین روش مثل پرس گرم سیلیسیم نیتريد، پرس گرم ایزواستاتیک سیلیسیم نیتريد، سیلیسیم نیتريد تفت‌جوش‌شده، سیلیسیم نیتريد تفت‌جوش‌شده در فشار جزئی گاز، سیلیسیم نیتريد پیوند واکنشی و سیلیسیم نیتريد پیوند واکنشی تفت‌جوش‌شده برای تولید بدنه‌های سیلیسیم نیتیدی وجود دارند [6]. در این مطالعه روش پیوند واکنشی مطالعه شده است.

روش پیوند واکنشی که با عنوان نیتريده کردن مستقیم نیز شناخته می‌شود، یکی از روش‌های مهم اقتصادی در تولید بدنه‌های سیلیسیم نیتیدی است. این روش قطعه را بسیار نزدیک به هندسه نهایی تولید می‌کند و نسبت به سایر روش‌ها عملیات اضافی بسیار کمی نیاز دارد. همچنین هزینه اجرای روش پیوند واکنشی رابطه‌ای مستقیم با زمان تولید قطعه دارد. در این روش سیلیسیم نیتريد از طریق واکنش نیتروژن و سیلیسیم در دمای بین ۱۲۵۰ درجه سانتی‌گراد و ۱۴۰۰ درجه سانتی‌گراد تولید می‌شود. در دماهای بالاتر از ۱۴۰۰ درجه سانتی‌گراد واکنش وارد فاز مایع می‌شود و متعاقباً مکانیزم‌های متفاوتی درگیر می‌شوند. تشکیل سیلیسیم نیتريد در سه مرحله سینتیکی رخ می‌دهد. در مرحله اول، نرخ واکنش به دلیل تشکیل جوانه‌های اولیه سیلیسیم نیتريد، تقریباً برابر با صفر است. در مرحله دوم، واکنش با واکنش سیلیسیم و نیتروژن از طریق نفوذ واکنشگر در محل واکنش پیشرفت می‌کند. در واقع بیشترین میزان نیتريده کردن در این مرحله صورت می‌گیرد. در مرحله نهایی، راه‌های نفوذی به داخل هسته ذرات با محصولات واکنش بسته می‌شوند؛ بنابراین گاز

واکنشگر باید مسیر جدیدی میان محصولات واکنش بیابد تا نیتريده کردن قرص کامل شود، بنابراین نرخ واکنش کاهش می‌یابد.

در تمام بازه دمایی که واکنش قابل انجام است (دماهای بالاتر از ۱۲۵۰ درجه سانتی‌گراد)، واکنش گرمازا بوده و ممانعت ترمودینامیکی برای انجام واکنش وجود ندارد. با پیشرفت واکنش، هردو واکنش شیمیایی و تفت‌جوشی در پودر سیلیسیم منجر به تغییر در ریزساختار ذرات می‌شود. این شرایط چگالی حفرات را تغییر داده و بر سینتیک واکنش مؤثر است. نفوذ مؤثر گاز واکنشگر مستقیماً به حفرات قرص وابسته است؛ بنابراین نفوذ مؤثر گاز واکنشگر، با پیشروی واکنش تغییر می‌یابد. چندین پارامتر مانند خواص فیزیکی قرص سیلیسیم (اندازه، چگالی، اندازه حفرات و نوع حفرات) و خواص گاز (ترکیب، نرخ سیلان و فشار) می‌تواند روی نفوذ واکنشگر مؤثر باشد. یک مدل مؤثر که می‌تواند تمام پارامترهای اشاره شده را فراگیرد، مهم‌ترین مسئله در پیش‌بینی رفتار سینتیکی نیتريده کردن است.

تلاش‌های متعددی برای مدل‌سازی واکنش صورت گرفته است [7-15]. بیشتر این مدل‌ها برای توضیح شرایط واکنشی گاز جامد توسعه داده شده‌اند. [7,16-19]. مدل‌ها در سه گروه اصلی طبقه‌بندی شده‌اند: مدل حفره [17]، مدل ذره قرص [19] و مدل واکنش حجمی [16]. مدل سطح مشترک تیز (sharp interface model) [7,16] به‌عنوان شرایط خاص برای واکنش گاز جامد با فرض بر اینکه ذرات جامد اولیه جامد و غیرمتخلخل‌اند، بیان شده است. ایده اصلی پشت این فرضیه، انجام واکنش در سطح مشترک جامد واکنش کرده و واکنش نکرده است.

چندین مدل براساس مدل SIM توسعه داده شده است. چنگ و همکاران [9] مدلی را بر اساس سیستم کنترل نفوذی توسعه داده‌اند. آن‌ها فرض کرده‌اند که ذرات داخل قرص غیرمتخلخل هستند. در مدل توسعه داده شده رابطه بین زمان و نرخ تبدیل به صورت تابع خطی بیان شده است که ثابت رابطه به متغیرهای واکنشی وابسته است. همچنین لی و

روش محاسباتی نرم، شبکه GMDH به‌عنوان روش خودسازمان‌دهنده (Self-organized) برای مدل‌سازی و کشف رفتار سیستم‌های پیچیده و ناشناخته با استفاده از داده‌های ورودی و خروجی شناخته شده است (ایواخنکو [26,27]). هدف اصلی این مطالعه بررسی کارآمدی شبکه GMDH برای پیش‌بینی سینتیک نیتریده کردن سیلیسیم است. مزیت اصلی روش GMDH در مقایسه با سایر روش‌های مشابه مثل ANN تعیین روابط بین داده‌های ورودی و خروجی به‌صورت پارامتری در قالب یک رابطه بیان می‌شود. درحالی‌که در روش ANN این روابط به‌صورت پنهان درون‌ساختار شبکه مصنوعی است. برای توسعه مدل کارآمد بر اساس GMDH داده‌های جامعی از مقالات شامل ۲۱۸۶ نتیجه آزمایشی به کار گرفته شد. مدل GMDH توسعه داده‌شده ارتباط بین درصد تبدیل سیلیسیم به نیتريد را با زمان، دما، درصد نیتروژن گاز واکنشگر، اندازه قرص و اندازه ذره سیلیسیم در قالب روابط بیان می‌کند. نتایج به‌دست‌آمده از GMDH با دو مدل عمومی موجود در این زمینه از طریق شاخص‌های خطای آماری مقایسه می‌شود. اهمیت نسبی پارامترهای مؤثر بر درصد تبدیل سیلیسیم به نیتريد با استفاده از آنالیز حساسیت بررسی می‌شود. قدرت مدل GMDH ارائه‌شده با تحلیل پارامتری تأیید می‌شود.

روش تحقیق

GMDH به‌عنوان یک روش یادگیری ماشین برای تشخیص الگوهای غیرخطی پنهان‌شده درون داده‌ها معرفی شد. این روش اولین بار از سوی ایواخنکو در ۱۹۷۱ معرفی شد [26]. رابطه غیرخطی بین متغیرهای ورودی و جواب‌ها به‌صورت توابع چندجمله‌ای ارائه شد. در حقیقت، الگوریتم بهترین چندجمله‌ای درجه دوم را با تعیین بهترین ضرایب، برای لحاظ کردن چندجمله‌ای به‌عنوان وابستگی متغیرها در هر لایه انتخاب می‌کند. الگوریتم GMDH دو دسته داده آموزشی و صحت‌سنجی را برای توسعه مدل به کار برده است و بهترین خروجی‌ها براساس بهترین ترکیب از داده‌های ورودی مستقل

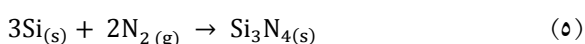
همکاران [8] رابطه‌ای را توسعه داده‌اند که مکانیزم‌های موازی انجام واکنش و همچنین مکانیزم‌های مختلف انجام واکنش در مراحل مختلف سینتیک را در مدل توسعه داده‌شده در نظر گرفته‌اند. کو و گرگوری [20] تأثیر تغییر اندازه ذره در مدل ریاضی را در نظر گرفته‌اند. از سوی دیگر حضور هیدروژن و اکسیژن در گاز واکنشگر پیش‌بینی سینتیک واکنش را پیچیده‌تر می‌کند. بدین منظور درویس‌گویچ و رایلی [21] مدل دومنطقه‌ای برای واکنش قرص فشرده سیلیسیم در اتمسفر نیتروژن/هیدروژن را توسعه داده‌اند [21].

عموماً مکانیزم‌های متفاوتی در کنترل سینتیک نیتریده کردن سیلیسیم در حین واکنش حضور دارند. مکانیزم‌های درگیر در مراحل اولیه واکنش می‌تواند کاملاً متفاوت از مکانیزم‌های حاکم بر مرحله نهایی سینتیک باشند. به‌علاوه، در زمان‌های به‌خصوصی از پیشروی واکنش، چندین مکانیزم می‌تواند به‌صورت موازی عمل کند. بدین جهت مدل‌های اشاره‌شده نمی‌توانند تمام پیچیدگی‌های بیان‌شده را لحاظ کنند. در نتیجه همیشه اختلاف قابل توجهی بین نتایج آزمایشی و پیش‌بینی مدل‌ها در شرایط مختلف واکنشی وجود خواهد داشت. از سوی دیگر، پارامترهای مؤثر زیادی در واکنش دخیل هستند که حل دقیق برای همه آن‌ها بسیار پیچیده و زمان‌بر خواهد بود. برای حل این موضوع یک روش محاسبات نرم بر اساس یادگیری ماشین که بتواند رابطه بین ورودی‌ها و هدف مسئله را بیابد، کاربردی بوده و چنین روشی دارای مزایای بسیار زیادی در مواجهه با چنین شرایط پیچیده و غیرخطی است.

در دهه‌های اخیر، نظریات یادگیری ماشین مانند شبکه عصبی مصنوعی (ANN (artificial neural network) و ANFIS به‌عنوان رایج‌ترین روش‌های محاسبات نرم برای حل کردن چنین محدودیت‌ها و پیچیدگی‌های محاسباتی به کار گرفته شده‌اند [22-25]. نتایج نشان‌دهنده عملکرد موفق نظریات داده کاوشی است. به‌هرحال، مدل‌های ANN و ANFIS دیدی از مدل ایجادشده نمی‌دهند و به‌راحتی فرمول‌های تجربی نمی‌توان از آن‌ها استفاده کرد. در میان

توسعه مدل

در این مطالعه، یک مدل پیش‌بینی‌کننده بر اساس روش GMDH توسعه داده شده است تا درصد تبدیل سیلیسیم به نیتريد را در رابطه (۵) تخمین بزند.



برای توسعه مدل، یک دسته داده جامع برگرفته از نتایج آزمایش‌های چنگ و همکاران استفاده شد. مجموع داده‌ها شامل ۲۱۸۶ نقاط داده است. چندین پارامتر مؤثر شامل زمان، دما، اندازه قرص، درصد نیتروژن و اندازه ذرات سیلیسیم به‌عنوان داده‌های ورودی در نظر گرفته می‌شوند. این پارامترها به‌عنوان مهم‌ترین پارامترهای مؤثر در نفوذپذیری گاز واکنشگر شناخته می‌شوند. واکنش نیتريده کردن سیلیسیم از نظر سینتیکی در دسته واکنش‌های کنترل نفوذی طبقه‌بندی می‌شوند که سینتیک آن‌ها به نفوذ گاز واکنشگر وابسته است؛ بنابراین، پارامترهای نشان‌داده شده به‌عنوان متغیرهای پیش‌بینی‌کننده برای تخمین میزان تبدیل به نیتريد انتخاب می‌شوند. بازه متغیرهای ورودی و خروجی در جدول (۱) ارائه شده است. شاخص‌های آماری شامل حداقل، حداکثر، میانگین و انحراف معیار نیز برای هر پارامتر در جدول (۱) آمده است. بازه انتخابی برای متغیرهای ورودی، بازه‌های عملی (واکنش اغلب در این بازه رخ می‌دهد) پوشش می‌دهد.

برای توضیح بیشتر، نمودار میله‌ای متغیرهای ورودی و خروجی برای بازه‌های متفاوت در شکل (۱) نشان داده شده است. باید متذکر شد که مدل ارائه شده در بازه‌هایی که داده‌ها تمرکز بیشتری دارند، قابل اعتمادتر است. در این مطالعه، یک پارامتر جدید معرفی شده است تا اثر اندازه ذره سیلیسیم را لحاظ کند. این پارامتر شامل ۵ بازه از اندازه ذرات به‌صورت جدول (۲) است.

به دست می‌آید. برای دستیابی به این امر، شکل پیچیده‌ای از سری توابع ولترا (Volterra) به‌عنوان چندجمله‌ای ولترا-کلمگرو به‌کاررفته است تا بهترین ارتباط بین مقادیر پاسخ و متغیرهای چندورودی به‌صورت رابطه (۱) تعیین کند.

$$y_i = a + \sum_{i=1}^{N_v} b_i x_i + \sum_{i=1}^{N_v} \sum_{j=1}^{N_v} c_{ij} x_i x_j + \dots + \sum_{i=1}^{N_v} \sum_{j=1}^{N_v} d_{ij\dots k} x_i x_j \dots x_k \quad (1)$$

به‌طوری‌که N_v تعداد متغیرهای مستقل است. ماتریس داده‌های ورودی که شامل N_v متغیر مستقل و N جواب مشاهده شده است، در رابطه (۲) ارائه شده است. ماتریس سمت چپ شامل جواب‌های مشاهده شده و سمت راست شامل N_v متغیر مستقل است.

$$\begin{bmatrix} y_1 \\ y_2 \\ \vdots \\ y_N \end{bmatrix} = \begin{bmatrix} x_{11} & x_{12} & \dots & x_{1N_v} \\ x_{21} & x_{22} & \dots & x_{2N_v} \\ \vdots & \vdots & \vdots & \vdots \\ x_{N1} & x_{N2} & \dots & x_{NN_v} \end{bmatrix} \quad (2)$$

چندجمله‌ای درجه دوم برای متغیر مستقل در رابطه (۳) ارائه شده است. برای N_v متغیر، رابطه درجه دو به‌صورت رابطه (۳) قابل توسعه است.

$$\hat{y}_i = a_0 + a_1 x_{ip} + a_2 x_{iq} + a_3 x_{ip} x_{jq} + a_4 x_{ip}^2 + a_5 x_{jq}^2 \quad (3)$$

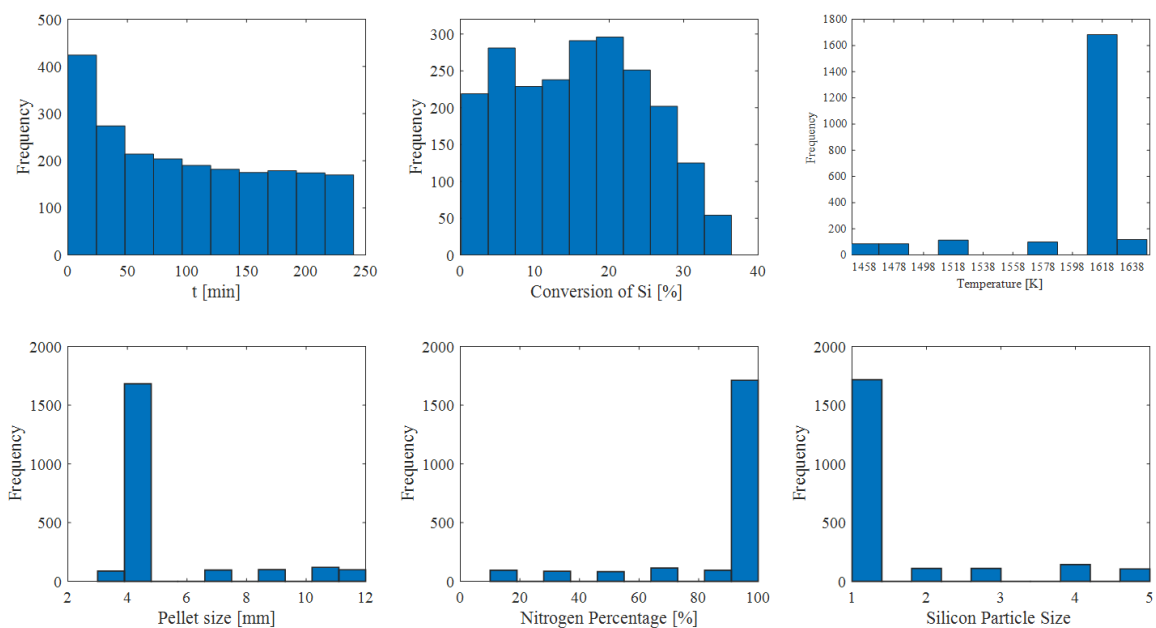
با استفاده از روش رگرسیون ضرایب چندجمله‌ای درجه دوم تعیین می‌شود. برای دستیابی به بهترین تطابق بین پیش‌بینی مدل و داده‌های واقعی، روش حداقل مربعات استفاده می‌شود. هدف اصلی روش GMDH حداقل کردن مربع تفاضل بین داده‌های خروجی و مقادیر واقعی طبق رابطه (۴) است.

$$\delta^2 = \sum_{i=1}^N [y_i - \hat{y}_i]^2 \quad (4)$$

به‌طوری‌که داده پیش‌بینی شده است.

جدول ۱ متغیرهای مؤثر و داده‌های آماری

متغیر	نماد	حداقل	حداکثر	میانگین	انحراف معیار
زمان [min]	t	۰,۰۰۵	۲۳۹,۸	۱۰۱,۷۶	۷۲,۸۳
دما [K]	T	۱۴۴۸	۱۶۴۸	۱۶۰۴,۱۲	۴۸,۹۶
اندازه قرص [mm]	PeS	۳	۱۲	۵,۰۶	۲,۴۵
درصد نیتروژن [%]	NP	۱۰	۱۰۰	۸۵,۷۷	۲۲,۵۱
اندازه ذرات سیلیسیم [μm]	PS	۱	۵	۱,۵۴	۱,۱۵
درصد تبدیل به نیتروژن [%]	CP	۰,۱۱۷	۳۶,۴	۱۵,۹۷	۹,۰۸



شکل ۱ نمودار متغیرهای ورودی و خروجی

جدول ۲ توزیع اندازه ذرات

PS=1	PS=2	PS=3	PS=4	PS=5
PS < 38 μm	38 μm < PS < 45 μm	45 μm < PS < 53 μm	53 μm < PS < 63 μm	63 μm < PS

تقسیم شدند. داده‌های آموزشی برای توسعه مدل جدید پایه‌ای استفاده می‌شود و داده‌های آزمایشی برای آزمون عملکرد مدل توسعه‌یافته به کار می‌رود. برای دستیابی به بهترین و عمومی‌ترین مدل، بایستی عملکرد مدل آموزش‌یافته برای هر دو دسته داده آموزشی و آزمایشی یکسان باشد. برای دستیابی به مدل قابل اعتماد، حداکثر، حداقل، متوسط و

برهم‌نهی داده یکی از مشکلات مهمی است که در حین آموزش الگو با استفاده از روش یادگیری ماشین رخ می‌دهد. بنزاف و همکاران در سال ۱۹۹۸ روش جدیدی را برای کاستن این برهم‌نهی و بهبود عمومیت‌بخشی مدل توسعه‌یافته معرفی کردند. در این روش، داده‌های ورودی اولیه به صورت اتفاقی به دو دسته داده‌های آموزشی و داده‌های آزمایش

$$X_{17} = -1.1 + 0.7X_{12} + 0.49X_{11} - 0.054X_{11}X_{12} + 0.038X_{12}^2 + 0.0088X_{11}^2 \quad (6i)$$

Layer 4 (Number of Neurons=1):

$$CP (\%) = -0.61 - 0.35X_{17} + 1.4X_{16} - 0.79X_{16}X_{17} + 0.38X_{17}^2 + 0.41X_{16}^2 \quad (6j)$$



شکل ۲ سیلیسیم خالص فشرده پس از پرس پودر

روش آزمایش

ماده به‌کاررفته در این تحقیق پودر سیلیسیم با خلوص ۹۹,۹۹۵ درصد (Dang-Fang Refsource, China) $(d_{50}=4.76\mu\text{m})$ است که به‌صورت کمی قبل از انجام آزمایش‌ها مشخصه‌یابی شده است. سایر عناصر اضافی پودر شامل $\text{Ca} < 0.0001\%$ و $\text{Mg} < 0.0002\%$ است. به‌علاوه، اندازه ذرات پودر سیلیسیم با استفاده از آنالیز اندازه دانه (MAL100229, MALVEM) تعیین شد. پودر اولیه در قالب فلزی با فشار ۰,۶ MPa فشرده و قرص سیلیسیم ایجاد شد (شکل ۲). قرص فشرده سپس به دانه‌های کوچک‌تر شکسته شد تا فضای تماس با بوته به حداقل برسد. با توجه به نتایج مدل برای زمان اتمام واکنش، ۲۰ بازه زمانی برای محاسبه درصد نیتریده کردن در ۱۵۷۳ کلوین انتخاب شد.

به منظور انجام فرایند نیتریده کردن سیلیسیم، کوره تیوبی

انحراف معیار پارامترها بایستی به پایداری مقداری در داده‌های آموزشی و آزمایشی برسند. در این مطالعه، ۲۱۸۶ نقطه داده برای توسعه مدل نهایی استفاده شده است؛ بنابراین، ۸۰ درصد داده‌ها (۱۷۴۹ نقطه داده) برای آموزش به کار رفته و ۲۰ درصد باقی‌مانده (۴۳۷ نقطه داده) برای آزمایش به کار رفته‌اند.

بعد از تقسیم‌بندی داده‌ها، داده‌های آموزشی به الگوریتم GMDH اعمال شده و روابط به‌دست‌آمده از مرحله آموزش مدل برای تخمین درصد پیشرفت نیتریده کردن در مجموعه روابط (۶) آمده است.

Layer 1 (Number of Neurons=4):

$$X_6 = -260 + 0.29T + 0.25t - 3.7 \times 10^{-5}tT - 8.1 \times 10^{-5}T^2 - 0.00044t^2 \quad (6a)$$

$$X_7 = -2.9 + 0.057NP + 0.11t + 0.00094tNP + 0.0002NP^2 - 0.00043t^2 \quad (6b)$$

$$X_8 = 0.47 + 4.2PS + 0.19t - 0.0038tPS - 0.81PS^2 - 0.00042t^2 \quad (6c)$$

$$X_9 = 3.7 - NP + 0.032T + 0.00073TNP + 9.1 \times 10^{-5}NP^2 - 2.1 \times 10^{-5}T^2 \quad (6d)$$

Layer 2 (Number of Neurons=3):

$$X_{11} = -1.7 + 0.55X_7 + 0.7X_6 + 0.081X_6X_7 - 0.043X_7^2 - 0.042X_6^2 \quad (6e)$$

$$X_{12} = -1.4 - 0.51X_9 + 0.33X_8 + 0.064X_8X_9 + 0.026X_9^2 - 0.0093X_8^2 \quad (6f)$$

$$X_{13} = -4.2 + 0.5X_9 + 0.42X_6 + 0.069X_6X_9 - 0.025X_9^2 - 0.017X_6^2 \quad (6g)$$

Layer 3 (Number of Neurons=2):

$$X_{16} = -0.83 + 0.89X_{13} + 0.31X_{12} + 0.061X_{12}X_{13} - 0.061X_{13}^2 - 0.0067X_{12}^2 \quad (6h)$$

جدول ۳ نتایج آزمایشگاهی

زمان (دقیقه)	W_0	ΔW	X
۱۲	۰,۴۳۸	۰,۰۳۳	۱۱,۳۰
۲۵	۰,۳۰۴	۰,۰۳۱	۱۵,۲۹
۳۷	۰,۳۰۷	۰,۰۳۱	۱۵,۱۴
۵۰	۰,۲۰۸	۰,۰۲۲	۱۵,۸۶
۶۲	۰,۳۲۵	۰,۰۰۴	۱۸,۴۶
۷۵	۰,۳۷۱	۰,۰۴۵	۱۸,۱۹
۸۷	۰,۳۰۴	۰,۰۳۸	۱۸,۷۵
۱۰۰	۰,۲۹۹	۰,۰۰۴	۲۰,۰۶
۱۱۲	۰,۲۷۱	۰,۰۳۶	۱۹,۹۲
۱۲۵	۰,۳۳۹	۰,۰۴۸	۲۱,۲۳
۱۳۷	۰,۳۸۲	۰,۰۵۲	۲۰,۴۱
۱۵۰	۰,۱۵۲	۰,۰۰۲	۱۹,۷۳
۱۶۲	۰,۱۳۴	۰,۰۰۲	۲۲,۳۸
۱۷۵	۰,۲۶۶	۰,۰۰۴	۲۲,۵۵
۱۸۷	۰,۳۱	۰,۰۴۵	۲۱,۷۷
۲۰۰	۰,۳۱۷	۰,۰۰۵	۲۳,۶۵
۲۱۲	۰,۳۳۸	۰,۰۵۴	۲۳,۹۶
۲۲۵	۰,۲۸۹	۰,۰۴۴	۲۲,۸۳
۲۳۷	۰,۳۱۵	۰,۰۰۵	۲۳,۸۰
۲۵۰	۰,۳۷۹	۰,۰۶۲	۲۴,۵۳

نتایج و بحث

در این مطالعه، سینتیک تشکیل Si_3N_4 با استفاده از آزمایش‌های تجربی و نظریه محاسبات نرم بررسی و نتایج برای صحت‌سنجی مدل پیشنهادی با یکدیگر مقایسه و تطابق قابل قبول مشاهده شد. به علاوه مدل صحت‌سنجی شده با مشاهدات آزمایشی سایر مدل‌های به دست آمده در تحقیقات مشابه مقایسه شد.

نتایج الگوی اشعه ایکس (XRD) و تصویر میکروسکوپ الکترونی روبشی، پیشروی واکنش و مورفولوژی فازهای تشکیل‌شونده را در گام‌های متوالی با گذر زمان در دمای ثابت نشان می‌دهند. علاوه بر این، عملکرد مدل توسعه‌یافته با پارامترهای آماری ارزیابی شد. سپس

از جنس آلومینا استفاده شد. از آنجایی که اکسیژن با ایجاد لایه اکسیدی نازک در سطح سیلیسیم، واکنش نیتروژن را به تعویق می‌اندازد. مقدار کمی گاز هیدروژن به گاز نیتروژن اضافه شد تا لایه اکسیدی اشاره شده را احیا و اکسیژن احتمالی موجود در گاز واکنشگر را حذف کند. بدین جهت ترکیب حجمی ۵ درصد هیدروژن-۹۵ درصد نیتروژن به عنوان گاز واکنشگر در حین فرایند استفاده شد. نمونه‌ها در کوره قرار گرفتند و به مدت تعیین شده در معرض گاز واکنشگر در دمای ۱۵۷۳ کلوین قرار داده شدند. فرایند برای ۲۰ بازه زمانی متفاوت انجام گرفت و میزان پیشروی واکنش با افزایش وزن نمونه‌ها اندازه‌گیری شد.

اندازه درصد نیتروژن

به دلیل اینکه وزن ذرات سیلیسیم بعد از واکنش با گاز نیتروژن و تشکیل نیتريد سیلیسیم افزایش می‌یابد، روابط استوکیومتری بر اساس رابطه (۷) وابستگی بین درصد تبدیل نیتروژن را با افزایش وزن بیان می‌کند. همچنین نتایج آزمایشگاهی در جدول (۳) خلاصه شده است.



$$\Delta W = \text{Weight of } N_4 \text{ in } Si_3N_4(g) \quad (8)$$

$$\frac{\Delta W}{2M_{N_2}} = mol_N = mol_{Si_3N_4} \quad (9)$$

$$\frac{\Delta W}{2M_{N_2}} \cdot 3 = mol_{Si} \quad (10)$$

$$\left(\frac{\Delta W}{2M_{N_2}} \cdot 3 \right) \cdot M_{Si} = g_{Si} \quad (11)$$

$$X = \frac{3M_{Si}\Delta W}{2M_{N_2}W_0} \quad (12)$$

در روابط نشان داده شده (۷ تا ۱۲)، X بیانگر درصد واکنش، ΔW افزایش وزن، W_0 وزن اولیه قرص، M_{Si} وزن مولکولی سیلیسیم و M_{N_2} وزن مولکولی نیتروژن است.

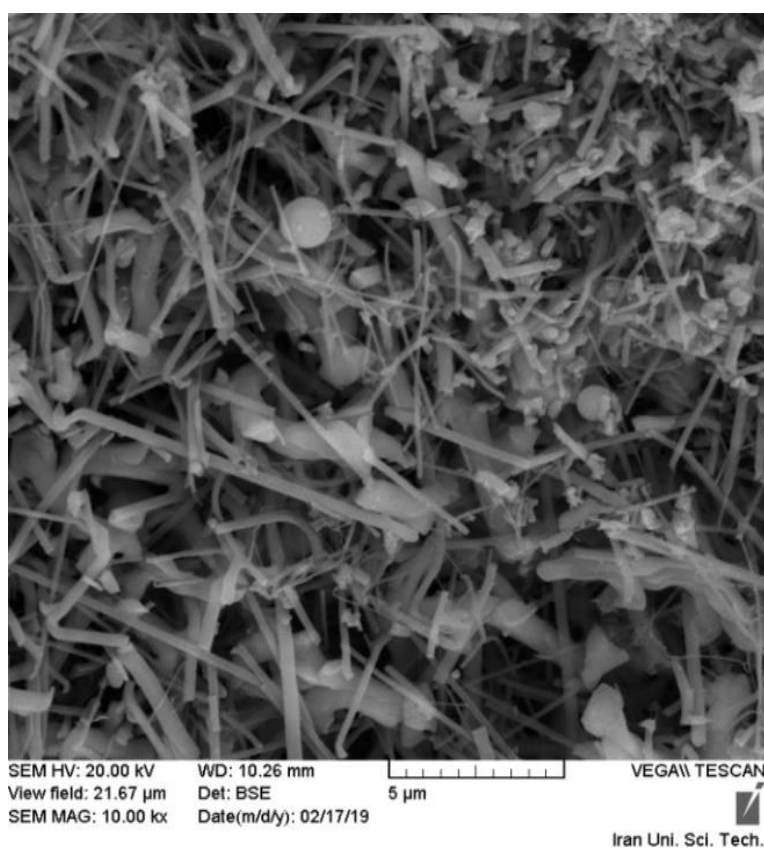
واکنش گاز جامد در سطح سیلیسیم به دلیل نفوذ اتمی نیتروژن درون فاز β یا در حضور فاز مایع که تشکیل این فاز را تشویق کند، ایجاد می‌شود.

الگوی پراش اشعه ایکس محصولات آشکار می‌کند که قرص سیلیسیم واکنش کرده شامل سیلیسیم واکنش نکرده، α - Si_3N_4 و β - Si_3N_4 بوده و از سوی دیگر پیک اکسید سیلیسیم (SiO_2) و سیلیسیم اکسی‌نیتريد ($\text{Si}_2\text{N}_2\text{O}$) مشاهده نشدند. نسبت فاز α مشاهده شده بسیار بیشتر از فاز β است. همان‌گونه که در شکل (۴) دیده می‌شود، با پیشروی واکنش شدت پیک سیلیسیم کاسته می‌شود و از سوی دیگر شدت پیک هر دو فاز α و β افزایش می‌یابد.

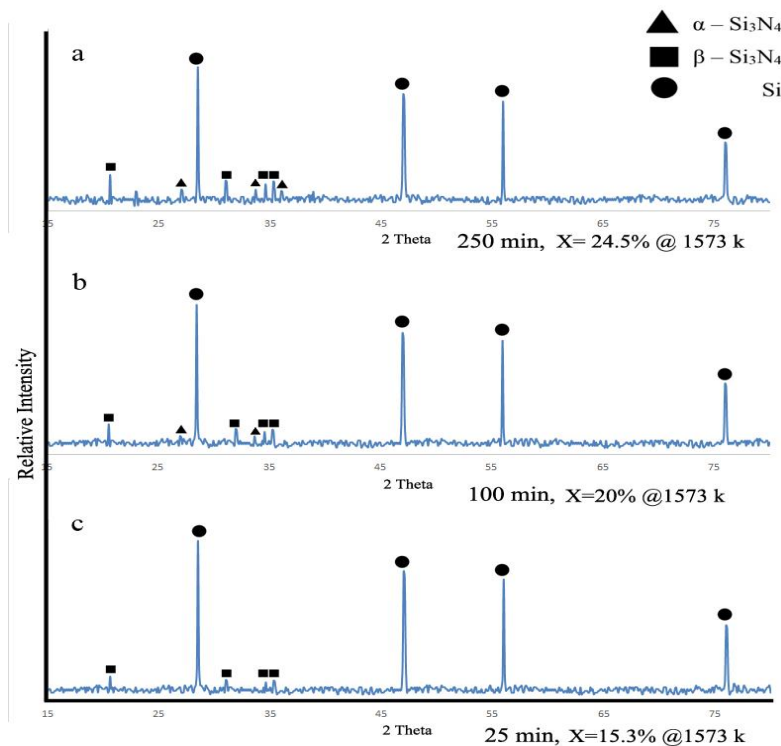
مهم‌ترین پارامترهای تخمین درصد تبدیل با استفاده از آنالیز حساسیت تعیین می‌شود. برای صحت‌سنجی بیشتر مدل، آنالیز پارامتریک صورت گرفت. این آنالیز از تبعیت نتایج مدل با واقعیت فیزیکی حاکم در مسئله اطمینان حاصل می‌کند.

آنالیز ریزساختار

ریزساختار قرص نیتریده در 1573°C کلون بعد از آماده‌سازی اولیه با استفاده از SEM مشخصه‌یابی شد (شکل (۳)). تشکیل فاز α - Si_3N_4 طی مکانیزم بخار مایع جامد (VLS) یا به صورت ساده با فرایند رسوب شیمیایی بخار (CVD) بین سیلیسیم گازی و نیتروژن رخ می‌دهد. بیشترین درصد تشکیل نیتريد مربوط به این مکانیزم‌هاست. β - Si_3N_4 با مکانیزم



شکل ۳ ریزساختار قرص نیتریده در دمای 1573°C درجه کلون



شکل ۴ الگوی XRD سه قرص که به ترتیب در سه زمان (a) ۲۵۰ (b) ۱۰۰ (c) ۲۵ دقیقه در دمای ۱۵۷۳ درجه کلونین نیتزیده شده‌اند

آنالیز عملکرد

برای تعیین عملکرد مدل توسعه یافته GMDH، ϵ پارامتر خطای آماری شامل بایاس، ریشه دوم میانگین خطا (RMSE)، ضریب همبستگی (R)، ضریب تعیین (R^2) به کار رفته است.

$$\text{Bias} = \frac{\sum_{i=1}^N (P_i - O_i)}{N} \quad (13)$$

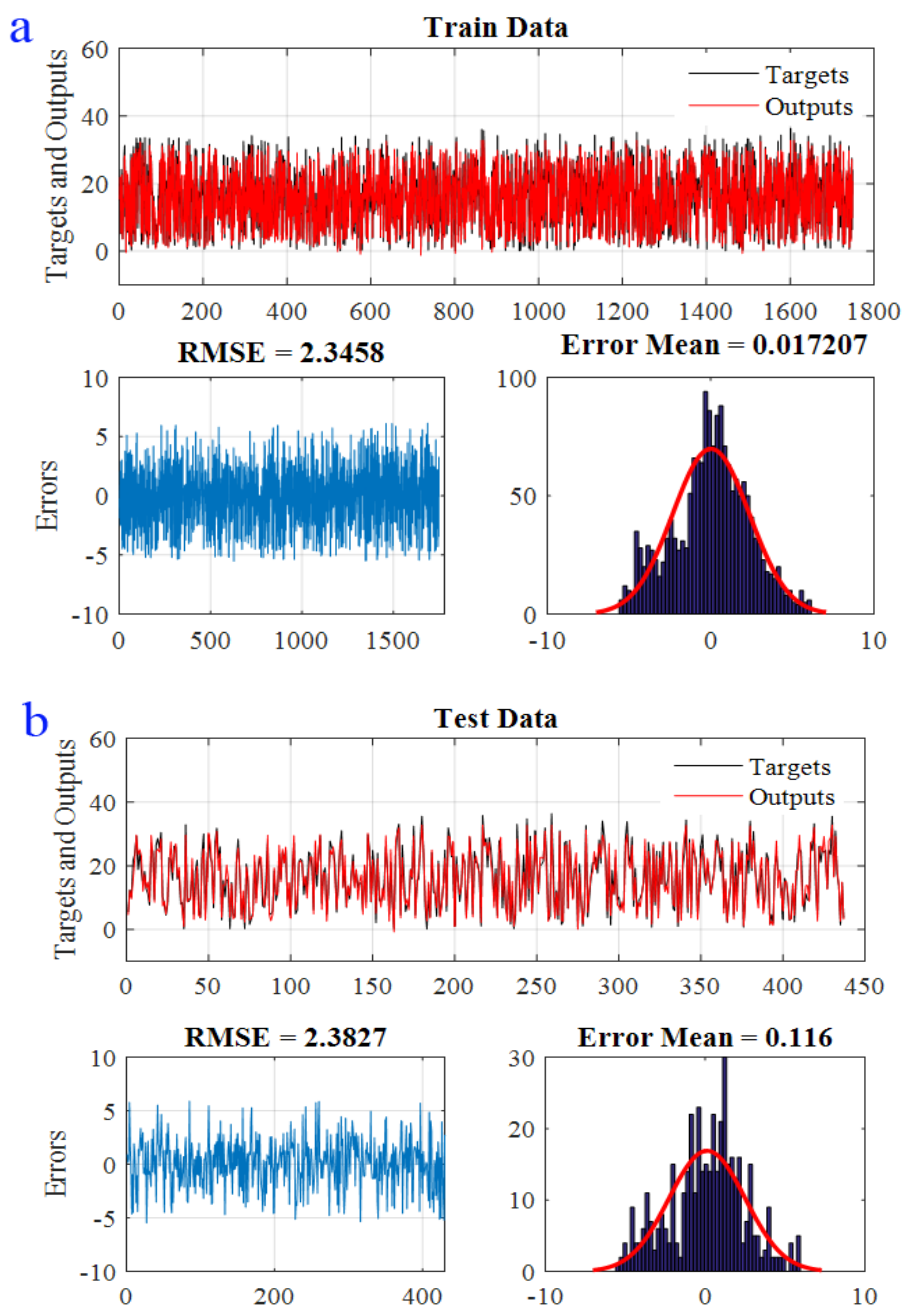
$$\text{RMSE} = \sqrt{\frac{1}{N} \sum_{i=1}^N (P_i - O_i)^2} \quad (14)$$

$$R = \frac{\sum_{i=1}^N (P_i - P_m)(O_i - O_m)}{\sqrt{(P_i - P_m)^2} \sqrt{(O_i - O_m)^2}} \quad (15)$$

$$R^2 = 1 - \frac{\sum_{i=1}^N (O_i - P_i)^2}{\sum_{i=1}^N (O_i - O_m)^2} \quad (16)$$

به طوری که O_i مقدار مشاهده شده، P_i مقدار پیش‌بینی شده به وسیله مدل، N تعداد نقاط داده، O_m مقدار متوسط مشاهدات و P_m مقدار متوسط مقادیر پیش‌بینی شده است.

نتایج مدل GMDH توسعه داده شده و مشاهدات آزمایشگاهی واقعی برای آموزش و آزمایش در شکل (۵) (a) و (b) نشان داده شده و به علاوه خطاها و بهترین توزیع نرمال روی این خطاها در این شکل نشان داده شده‌اند. تطابق خوبی بین درصد تبدیل پیش‌بینی شده با مدل GMDH و داده های واقعی وجود دارد. این امر بیانگر این واقعیت است که عمومی سازی مدل توسعه داده شده برای داده های تصادفی در بازه آموزشی مدل قابل قبول است. از سوی دیگر، خطاهای یک مدل پیش‌بینی کننده خوب باید سستی روند و توزیع خاصی را دنبال کند [28]. این ویژگی برای لحاظ کردن عدم قطعیت در طراحی مدل پیش‌بینی کننده قابل استفاده است. همان گونه که در شکل (a-5) و (b) نشان داده شده است، خطاهای مدل GMDH توسعه یافته تقریباً توزیع نرمالی را برای هر دو دسته داده آموزشی و آزمایشی دنبال می‌کند؛ بنابراین، عدم قطعیت مدل GMDH می‌تواند به سادگی با استفاده از لحاظ کردن پارامتر اتفاقی با یک توزیع نرمال محاسبه شود.



شکل ۵ مقایسه نتایج پیش‌بینی مدل و مشاهدات آزمایشگاهی (a) آموزشی (b) آزمایشی

مشاهده شده است. در این مطالعه ضریب تعیین R^2 استفاده شده است، زیرا ارزیابی صریح‌تری از عملکرد مدل را بیان می‌کند. به علاوه، پارامترهای بایاس و RMSE در جواب‌های دقیق‌تر مقادیر نزدیک به صفر دارند. مطابق جدول (۴)، مدل GMDH عملکرد یکسانی برای هر دو دسته داده آموزشی و آزمایشی دارد. مقادیر بایاس و RMSE یکسان و نزدیک به

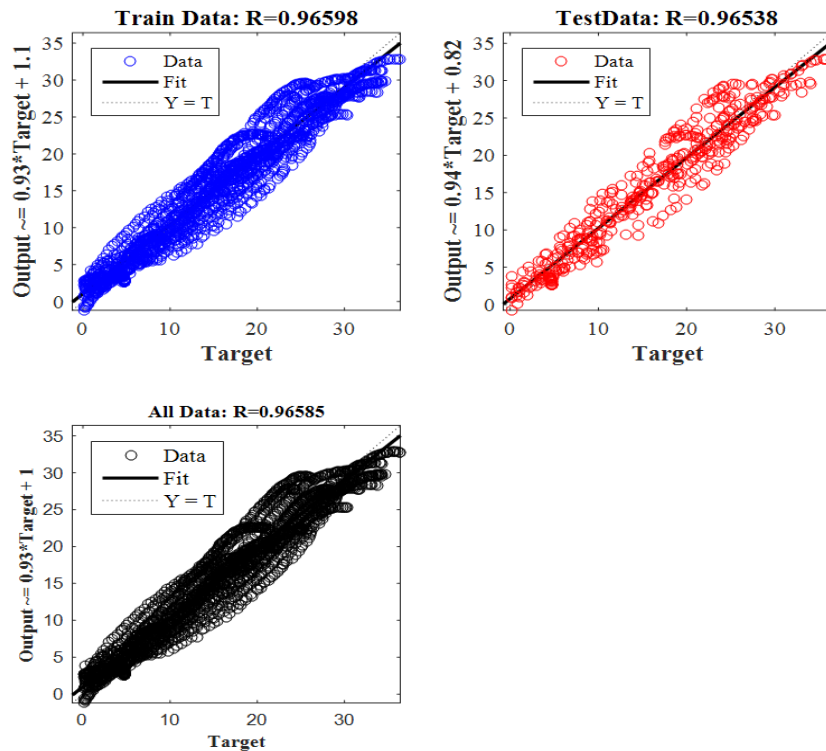
برای محاسبه کمی عملکرد مدل توسعه یافته، پارامترهای خطای آماری در جدول (۴) برای هر دو دسته داده آموزشی و آزمایشی ارائه شده است. در واقع، پارامتر R^2 بیانگر ضریب همبستگی بین دو مقدار اندازه‌گیری شده و پیش‌بینی شده است. اگر پارامتر R^2 بیش از ۰٫۸ باشد، نشان‌دهنده همبستگی قوی بین مقدار پیش‌بینی شده و

آزمایشی به همراه میزان خطا در شکل (۶) آمده است. در این شکل بهترین رگرسیون خطی بین داده‌های واقعی و خروجی مدل نشان داده شده و معادله خطی برازش نزدیک به معادله بهینه $Y=X$ است. نتایج بیانگر این حقیقت است که مدل توسعه یافته توانایی پیش‌بینی مناسب و قابل اعتمادی دارد.

صفر هستند. مدل GMDH با مقادیر خطای $R=0.966$ و $R=0.965$ و مقدار R^2 تقریباً برابر با 0.93 برای داده‌های آموزشی و آزمایشی معیارهای لازم برای داشتن ضریب همبستگی قوی را تحقق می‌بخشد. برای توضیح بیشتر همبستگی بین خروجی‌های مشاهده شده و پیش‌بینی شده با مدل، مقایسه‌ای بین داده‌ها هم برای داده‌های آموزشی و هم

جدول ۴ صحت‌سنجی مدل پیشنهادی با استفاده از معیارهای خطای آماری

نوع پارامتر خطا	رابطه	شرایط	داده‌های آموزشی	داده‌های آزمایشی
BIAS	$Bias = \frac{\sum_{i=1}^N (P_i - O_i)}{N}$	$ BIAS \rightarrow 0$	-0.0172	-0.1161
RMSE	$RMSE = \sqrt{\frac{1}{N} \sum_{i=1}^N (P_i - O_i)^2}$	$RMSE_{train} = RMSE_{test}$	2.3458	2.3827
R	$R = \frac{\sum_{i=1}^N (P_i - P_m)(O_i - O_m)}{\sqrt{(\sum_{i=1}^N (P_i - P_m)^2) \sqrt{(\sum_{i=1}^N (O_i - O_m)^2)}}$	$R > 0.8$	0.9660	0.9654
R^2	$R^2 = 1 - \frac{\sum_{i=1}^N (O_i - P_i)^2}{\sum_{i=1}^N (O_i - O_m)^2}$	$R^2 \rightarrow 1$	0.9331	0.9317



شکل ۶ مقایسه بین خروجی پیش‌بینی شده و نتایج آزمایشگاهی

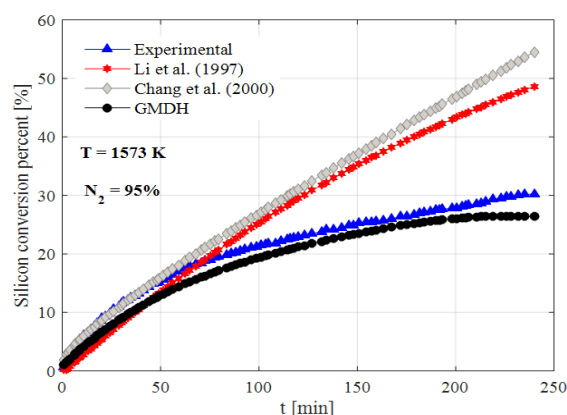
آنالیز حساسیت

برای تعیین مهم‌ترین پارامتر در پیش‌بینی درصد پیشروی واکنش آنالیز حساسیت براساس آزمون گاما انجام شد. آزمون گاما روشی برای تعیین درجه اثر ورودی روی خروجی مدل است. این آزمون در مدل‌هایی با چندین ورودی صورت می‌گیرد. انتخاب ترکیبی از مهم‌ترین متغیرها یکی از مسائل بسیار مهم در مدل‌سازی فرایند با روش‌های یادگیری ماشین مثل GMDH است [30].

برای تعیین میزان اهمیت و اثر پارامترهای ورودی، شش سناریو لحاظ شده است. در سناریو اول، تمام پارامترهای ورودی در آنالیز گاما لحاظ شده‌اند. در سناریو بعدی، تمام پارامترهای ورودی تک‌به‌تک از آنالیز گاما خارج می‌شوند. تغییرات در پارامترهای گاما مثل V_{ratio} بعد از حذف پارامتر محاسبه می‌شود. تغییرات بیشتر در V_{ratio} نشان‌دهنده اهمیت بالای پارامتر حذف شده در تخمین درصد تبدیل به نیتريد است. V_{ratio} بالا نشان‌دهنده اهمیت بالای پارامتر حذف شده بوده و انحراف بیشتری در پیش‌بینی‌ها نسبت به مقادیر واقعی ایجاد می‌کند.

نتایج آنالیز گاما در جدول (۵) خلاصه شده است. برای توضیح بیشتر نتایج آنالیز گاما، مقادیر V_{ratio} برای سناریوهای مختلف در شکل (۸) نشان داده شده است. طبق جدول (۵) زمان، درصد نیتروژن گاز واکنشگر و دما به ترتیب اثرگذارترین پارامترها در تخمین درصد تبدیل نیتروژن است. در حقیقت این نتایج با واقعیت‌های فیزیکی مسئله تطابق دارد. عموماً، سیلیسیم نیتريد از دو فاز $\alpha\text{-Si}_3\text{N}_4$ و $\beta\text{-Si}_3\text{N}_4$ تشکیل شده است [31]. تشکیل دو فاز در دو مکانیزم نفوذی مجزا رخ می‌دهد که این مکانیزم‌ها کند بوده و تحت تأثیر متغیرهای متفاوت هستند؛ بنابراین، زمان واکنش نقش مهمی در پیشرفت واکنش دارد که به واکنشگرها این شانس را می‌دهد تا درون لایه محصول اطراف ذره نفوذ کنند؛ بنابراین، آنالیز گاما به‌طور صحیح زمان را مهم‌ترین عامل مؤثر بر پیشروی واکنش تشخیص داده است.

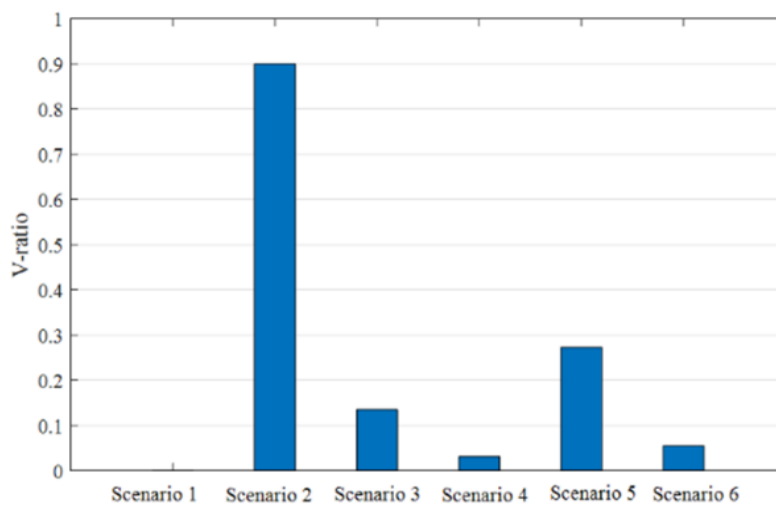
برای ارزیابی بیشتر عملکرد مدل GMDH توسعه‌یافته، پیش‌بینی این مدل با دو مدل قبلی لی و همکاران (۱۹۹۷) و چنگ و همکاران (۲۰۰۰) مقایسه شده است. مدل لی و چنگ دو مدل شناخته‌شده برای پیش‌بینی سینتیک نیتريد کردن سیلیسیم به‌روش نیتريد کردن مستقیم است و چندین پارامتر مؤثر و مکانیزم که پیروی واکنش را کنترل می‌کند در آن‌ها لحاظ شده است؛ بنابراین مدل‌های اشاره‌شده می‌توانند به‌عنوان مرجع قابل قبول برای ارزیابی مدل GMDH توسعه‌یافته به کار روند. برای مقایسه عملکرد مدل دما و درصد گاز نیتروژن در اتمسفر به‌صورت ثابت به ترتیب ۱۵۷۳ کلون و ۹۵ درصد در نظر گرفته شده‌اند. این مقادیر برای دما و غلظت گاز، عمومی‌ترین حالت در نظر گرفته شده برای انجام واکنش است که اغلب برای اطمینان از انجام واکنش اعمال می‌شود. براساس مقایسه‌هایی که بین نتایج دو مدل نشان داده شده است (مدل GMDH توسعه‌یافته و مقادیر آزمایشی واقعی) نمودار صحت‌سنجی ترسیم شد (شکل (۷)). همان‌طور که نشان داده شده است، هر دو مدل لی و چنگ در ابتدای واکنش پیش‌بینی‌های خوبی داشتند و نتایج با داده‌های آزمایشی واقعی تطابق دارند ولی بعد از دقیقه ۷۵ پیش‌بینی این مدل‌ها دارای خطای قابل توجهی می‌شود. مطابق این شکل مدل توسعه‌یافته تطابق قابل ملاحظه‌ای با داده‌های آزمایشگاهی در تمام مراحل انجام واکنش را داشته و ضریب خطای $R^2=0.93$ این امر را تأیید می‌کند. درحالی‌که مدل لی با خطای ۰/۶۳ و چنگ با ۰/۵۶ پیش‌بینی خوبی نداشتند.



شکل ۷ مقایسه بین نتایج مدل لی (۱۹۹۷) و چنگ (۲۰۰۰) و مدل GMDH توسعه‌یافته با مقادیر آزمایشگاهی واقعی

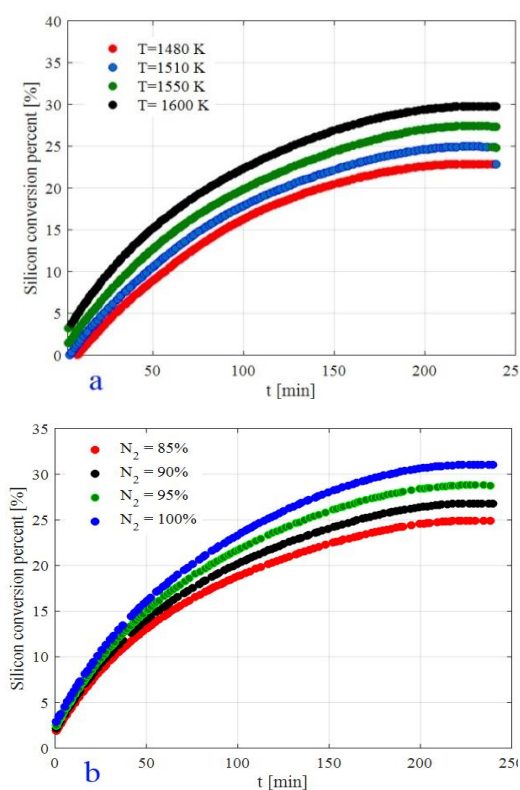
جدول ۵ نتایج آنالیز گاما

سناریو	متغیر لحاظ‌نشده	گاما	گرادیان	خطای استاندارد	V-ratio
1	(تمام متغیرها لحاظ شده‌اند)	-4.45E-5	0.5853	6.6159E-5	-0.000178
2	زمان	0.2250	0.0305	0.02945	0.90023
3	دما	0.0339	-0.4474	0.00172	0.1356
4	اندازه نمونه	0.0079	0.3513	0.000706	0.03163
5	درصد نیتروژن	0.0682	-1.4864	0.00522	0.2731
6	اندازه ذرات سیلیسیم	0.01368	0.1730	0.0009	0.0547

شکل ۸ نتایج آنالیز گاما (مقدار پارامتر V_{ratio} برای سناریوهای متفاوت)

به دلیل انرژی فعال‌سازی بالای آن به شدت به دمای متغیر وابسته است. مطالعات قبلی [8-10,14,32,33] نشان می‌دهد در صورتی نفوذ نیتروژن درون لایه محصول امکان‌پذیر است که نیتروژن به حالت اتمی فعال باشد. اگر اکسیژنی نباشد، سطوح داغ تنها منابعی هستند که نیتروژن اتمی تولید می‌کنند. به دلیل اینکه تجزیه نیتروژن به حالت اتمی مقادیر زیادی از انرژی را می‌طلبد، نفوذ شدیداً به دما وابسته است. از سوی دیگر، این امر ممکن است واکنش در حالت بخار صورت گیرد. در این حالت بخار سیلیسیم با نیتروژن واکنش می‌دهد و دما نقش اصلی را در تولید فشار بخار کافی سیلیسیم ایفا می‌کند. نتایج آنالیز گاما در راستای نتایج ثبت‌شده در مقالات قبلی و آزمایشات تعیین نرخ واکنش در تحقیق حاضر است.

آنالیز GT همچنین نشان می‌دهد که درصد نیتروژن دومین پارامتر مؤثر روی سینتیک نیتریده کردن است. در واقع، چگالی جوانه‌های سیلیسیم نیتريد روی سطح مشترک وابسته به میزان نیتروژن جذب‌شده در سطح است. میزان نیتروژن جذب‌شده متأثر از فشار نیتروژن روی سطح مشترک واکنش است. با افزایش فشار، میزان نیتروژن جذب‌شده در سطح مشترک افزایش می‌یابد. فشار بالای نیتروژن، جوانه‌های اولیه Si_3N_4 بیشتری تشکیل می‌دهد و سینتیک اولیه را افزایش می‌دهد. به علاوه، فشار بالا مکانیزم‌های نفوذ را با افزایش غلظت نیتروژن در حفرات درون ذره‌ای سریع‌تر می‌کند. نفوذ که نقش کنترل‌کننده روی نرخ واکنش نیتریده کردن دارد، همچنین بسیار متأثر از دماست. نفوذپذیری واکنشگر



شکل ۹ نتایج آنالیز پارامتریک (a) دماهای متفاوت (b) درصد نیتروژن

نتیجه‌گیری

در مطالعه حاضر، مدل مؤثر بر اساس روش گروهی بررسی داده (GMDH) توسعه داده شد تا سینتیک تشکیل نیتريد سيليسيم را پيش‌بینی کند. چندین پارامتر مؤثر مثل زمان، دما، درصد نیتروژن، اندازه نمونه و اندازه ذرات سيليسيم به‌عنوان متغیر اولیه برای مدل‌سازی درصد تبدیل لحاظ شدند. صحت مدل GMDH توسعه‌یافته از طریق پارامترهای خطای آماری ارزیابی شد. نتایج آنالیز عملکرد نشان می‌دهند که مدل توسعه‌یافته با $R=0.966$ و $R^2=0.93$ دقت قابل توجهی در تخمین درصد نیتريده کردن داراست. به‌منظور اطمینان از دقت مدل توسعه‌یافته، نتایج مدل GMDH با نتایج آزمایش واقعی نیتريده کردن انجام شده در ۱۵۷۳ کلوین و همچنین دو مدل عمومی و شناخته شده در زمینه نیتريده کردن سيليسيم شامل مدل لی (۱۹۹۷) و چنگ (۲۰۰۰) مقایسه شدند. نتایج نشان‌دهنده این واقعیت بودند که دو مدل لی و چنگ در مراحل اولیه واکنش تخمین‌های خوبی را از پیشرفت واکنش

آنالیز پارامتریک

برای صحت‌سنجی بیشتر قدرت مدل توسعه‌یافته، آنالیز پارامتریک انجام شد تا اینکه از هم‌راستایی مدل GMDH با مفاهیم فیزیکی سینتیک واکنش اطمینان حاصل آید. روش آنالیز پارامتریک بدین شیوه است که با استفاده از تغییر یکی از پارامترها درحالی‌که سایر پارامترها در محدوده میانگین خود ثابت نگه‌داشته شده‌اند، تغییرات جواب‌های مدل ثبت و بررسی می‌شوند. همان‌طور که در بخش قبلی بیان شد، زمان، درصد نیتروژن و دما از مهم‌ترین پارامترهای مؤثر بر سینتیک واکنش هستند؛ بنابراین، تأثیر این پارامترها با به‌کارگیری آنالیز پارامتریک بیشتر بررسی شد. نتایج آنالیز پارامتریک در شکل (۹) ارائه شده است. تغییرات درصد نیتريده کردن با زمان واکنش برای ۴ دمای مختلف متفاوت ($T=1480, 1510, 1550, 1600^{\circ}\text{K}$) و ۴ غلظت نیتروژن متفاوت ($N_2=85\%, 90\%, 95\%, 100\%$) به‌ترتیب در شکل ۹(a) و (b) نشان داده شده است. با توجه به شکل (۹)، با افزایش دما و غلظت نیتروژن، درصد تبدیل به نیتريد افزایش می‌یابد. به‌ازای هر درجه تغییر دمای واکنش ۰/۰۵۵ درصد و به‌ازای هر درصد افزایش غلظت گاز نیتروژن ۰/۴ درصد افزایش پیشروی واکنش در زمان یکسان رخ می‌دهد. واکنش نیتريده کردن سيليسيم یک واکنش کنترل نفوذی است که به‌شدت به دمای واکنش و غلظت واکنشگرها وابسته است، بنابراین با افزایش دما و درصد نیتروژن، نرخ واکنش افزایش می‌یابد. به‌علاوه در مراحل اولیه واکنش، سيليسيم به‌طور مستقیم در معرض گاز واکنشگر قرار می‌گیرد درحالی‌که با ادامه واکنش لایه محصولات سطح نمونه را پوشانده و پدیده نفوذ واکنشگرها مهم‌تر می‌شود. در نتیجه، دما و پارامتر غلظت نیتروژن در مراحل بعدی واکنش اثر مهم‌تری دارند. با توجه به شکل، نتایج نشان می‌دهند که مدل GMDH توسعه‌یافته با الگوهای فیزیکی تطابق دارد. بایستی یادآوری شود که تغییرات غلظت نیتريده کردن اثر بیشتری در مقایسه با دما روی تغییر درصد تبدیل سيليسيم دارد که این واقعیت هم در آنالیز حساسیت و هم در کارهای گذشته بیان شده است [8-10] و [13-15] و [20,32,33].

نیترژن مهم‌ترین پارامترهای مؤثر بر سینتیک واکنش بوده و دما، اندازه ذرات سیلیسیم و اندازه نمونه در جایگاه‌های بعدی قرار دارند. به‌منظور اطمینان از هم‌راستایی مدل با واقعیت‌های فیزیکی، آنالیز پارامتریک انجام شد. نتایج به‌دست آمده، صحت مدل GMDH را در تبعیت از الگوهای فیزیکی تأیید کردند.

نشان دادند ولی با پیشرفت واکنش بعد از دقیقه ۷۵ تخمین‌های این دو مدل خطای قابل ملاحظه‌ای داشتند. به‌هر حال مدل GMDH تطابق خوبی با نتایج آزمایشگاهی در تمام طول انجام واکنش از خود نشان داد. به‌منظور تعیین مهم‌ترین پارامتر مؤثر بر درصد پیشروی واکنش، آنالیز گاما صورت گرفت. مطابق نتایج آنالیز حساسیت، زمان و غلظت

مراجع

1. Yigiterol, F., Güllü, H. H., Bayraklı, Ö., and Yıldız, D. E., "Temperature-Dependent Electrical Characteristics of Au/Si₃N₄/4H n-SiC MIS Diode", *Journal of Electronic Materials*, Vol. 47, (5), pp.2979-2987, (2018).
2. Vieira, E. M. F., Ribeiro, J. F., Sousa, R., Silva, M. M., Dupont, L., and Gonçalves, L. M., "Titanium Oxide Adhesion Layer for High Temperature Annealed Si/Si₃N₄/TiO_x/Pt/LiCoO₂ Battery Structures", *Journal of Electronic Materials*, Vol. 45, NO. 2, pp. 910-916, (2016).
3. Torchynska, T., Khomenkova, L., and Slaoui, A., "Modification of Light Emission in Si-Rich Silicon Nitride Films Versus Stoichiometry and Excitation Light Energy", *Journal of Electronic Materials*, Vol. 47, NO. 7, pp. 3927-3933, (2018).
4. Lu, Y., Yang, J., Lu, W., Liu, R., Qiao, G., and Bao, C., "Synthesis of Porous Silicon Nitride Ceramics from Diatomite", *Materials and Manufacturing Processes*, Vol. 25, NO. 9, pp. 998-1000, (2010).
5. Zhang, XH., Chen, GY., An, WK., Deng, ZH., Liu, W., and Yang, C., "Experimental Study of Machining Characteristics in Laser Induced Wet Grinding Silicon Nitride", *Materials and Manufacturing Processes*, Vol. 29, NO. 11-12, pp. 1477-1482, (2014).
6. Somiya, S., Mitomo, M., and Yoshimura, M. "SILICON NITRIDE - I Ceramic Research and Development in Japan, Vol. 1", *Materials and Manufacturing Processes*, Vol. 6, NO. 4, pp. 741-744, (1991).
7. Carter, R. E., "Kinetic Model for Solid- State Reactions", *The Journal of Chemical Physics*, Vol. 34, NO. 6, pp. 2010-2015, (1961).
8. Li, WB., Lei, B. Q., and Lindbäck, T., "A kinetic model for reaction bonding process of silicon powder compact", *Journal of the European Ceramic Society*, Vol. 17, NO. 9, pp. 1119-1131, (1997).
9. Chang, F. W., Liou, T-H. H., and Tsai, F. M., "The nitridation kinetics of silicon powder compacts", *Thermochimica Acta*, Vol. 354, NO. 1-2, pp. 71-80, (2000).
10. Wang, X-S., Zhai, G., Yang, J., et al. "Nitridation of Si", *Surface Science*, Vol. 494, NO. 2, pp. 83-94, (2001).
11. Hara, Y., Shimizu, T., and Shingubara, S., "Nitridation of silicon by nitrogen neutral beam", *Applied Surface Science*, Vol. 363, pp. 555-559, (2016).
12. Hyuga, H., Zhou, Y., Kusano, D., Hiroa, K., and Kita, H., "Nitridation behaviors of silicon powder doped with various rare earth oxides", *Journal of the Ceramic Society of Japan*, Vol. 119, pp. 251-253, (2011).

13. Li, Y., Wang, L., Yin, S., et al. " Volume 11: Nano and Micro Materials, Devices and Systems; Microsystems Integration: Study on Nitridation of Silicon Added with Amorphous Silicon Nitride", ASME, New York, pp. 435-438, (2011).
14. Zhu, X., Zhou, Y., Hirao, K., and Lenčič, Z., "Processing and Thermal Conductivity of Sintered Reaction-Bonded Silicon Nitride. I: Effect of Si Powder Characteristics", *Journal of the American Ceramic Society*, Vol. 89, NO. 11, pp. 3331-3339, (2006).
15. Kim, M., Park, J., Lee, H-W., and Kang, S., "A cyclic process for the nitridation of Si powder", *Materials Science and Engineering: A*, Vol. 408, NO. 1-2, pp. 85-91, (2005).
16. Ishida, M., and Wen, C.Y., "Comparison of zone-reaction model and unreacted-core shrinking model in solid—gas reactions—I isothermal analysis", *Chemical Engineering Science*, Vol. 26, NO. 7, pp.1031-1041, (1971).
17. Bhatia, S. K., "Analysis of distributed pore closure in gas-solid reactions", *AIChE Journal*, Vol. 31, NO. 4, pp. 642-648, (1985).
18. Ishida, M., Wen, C Y. Y., and Shirai, T., "Comparison of zone-reaction model and unreacted-core shrinking model in solid—gas reactions—II non-isothermal analysis", *Chemical Engineering Science*, Vol. 26, NO. 7, pp. 1031-1048, (1971).
19. Szekely, J., and Evans, J. W., "A structural model for gas—solid reactions with a moving boundary", *Chemical Engineering Science*, Vol. 25, NO. 6, pp. 1091-1107, (1970).
20. Ku, W., Gregory, O. J., and Jennings, H. M., "Computer Simulation of the Microstructure Developed in Reaction-Sintered Silicon Nitride Ceramics", *Journal of the American Ceramic Society*, Vol. 73, NO. 2, pp. 286-296, (1990).
21. Dervisbegovic, H., and Riley, F. L., "The influence of iron and hydrogen in the nitridation of silicon", *Journal of Materials Science*, Vol. 14, NO. 5, pp. 1265-1268, (1979).
22. Maleki, E., and Maleki, N., "Artificial Neural Network Modeling of Pt/C Cathode Degradation in PEM Fuel Cells", *Journal of Electronic Materials*, Vol. 45, NO. 8, pp. 3822-3834, (2016).
23. Vafaenezhad, H., Seyedein, S. H., Aboutalebi, M. R., and Eivani, A. R., "Incorporating the Johnson–Cook Constitutive Model and a Soft Computational Approach for Predicting the High-Temperature Flow Behavior of Sn-5Sb Solder Alloy: A Comparative Study for Processing Map Development", *Journal of Electronic Materials*, Vol. 46, NO. 1, pp. 467-477, (2017).
24. Derebasi, N., Eltez, M., Guldiken, F., Sever, A., Kallis, K., and Kilic, H., "Influence of Geometrical Factors on Performance of Thermoelectric Material Using Numerical Methods", *Journal of Electronic Materials*, Vol. 44, NO. 6, pp. 2068-2073, (2015).
25. Reddy, N. S., Panigrahi, B. B., Ho, C. M., Kim, J. H., and Lee, C. S., "Artificial neural network modeling on the relative importance of alloying elements and heat treatment temperature to the stability of α and β phase in titanium alloys", *Computational Materials Science*, Vol. 107, pp.175-183, (2015).

26. Ivakhnenko, A. G., "Polynomial Theory of Complex Systems", *IEEE Transactions on Systems, Man, and Cybernetics*, Vol. SMC-1, NO. 4, pp. 364-378, (1971).
27. Ivakhnenko, A. G., Ivakhnenko, G. A., and G. A., Ivakhnenko, A. G. I., "Problems of further development of the group method of data handling algorithms. Part I", *PATTERN Recognit IMAGE Anal*, Vol. 10, NO. 2, pp.187-194, (2000).
28. Kaveh, A., Bakhshpoori, T., and Hamze-Ziabari, S. M., "Derivation of New Equations for Prediction of Principal Ground-Motion Parameters using M5' Algorithm", *Journal of Earthquake Engineering*, Vol. 20, NO. 6, pp. 910-930, (2016).
29. Smith, G. N. N., "Probability and Statistics in Civil Engineering", Collins, London, pp. 269-284, (1986).
30. Kaveh, A., Hamze-Ziabari, S. M., and Bakhshpoori, T., "Patient rule-induction method for liquefaction potential assessment based on CPT data", *Bulletin of Engineering Geology and the Environment*, Vol. 77, NO. 2, pp. 849-865, (2018).
31. Karakuş, N., Kurt, A. O., and Toplan, H. Ö., "Production of Sinterable Si_3N_4 from SiO_2 - $Li_2 O$ - Y_2O_3 Mixture", *Materials and Manufacturing Processes*, Vol. 27, NO. 7, pp.797-801, (2012).
32. Pigeon, R. G., and Varma, A., "Quantitative kinetic analysis of silicon nitridation", *Journal of Materials Science*, Vol. 28, NO. 11, pp.2999-3013, (1993).
33. Hughes, G. S., Mcgreavy, C., and Merkin, J. H., "Transport effects in the manufacture of reaction-bonded silicon nitride", *The Canadian Journal of Chemical Engineering*, Vol. 57, NO. 2, pp. 198-202, (1979).

